

ОБЪЕДИНЕННЫЙ  
ИНСТИТУТ  
ЯДЕРНЫХ  
ИССЛЕДОВАНИЙ  
ДУБНА



11/11-74

Б-346

12 - 7525

Б.Баяр, И.Воцилка, Н.Г.Зайцева, А.Ф.Новгородов

617/2-74

БЫСТРЫЕ

ГАЗОТЕРМОХРОМАТОГРАФИЧЕСКИЕ МЕТОДЫ  
ВЫДЕЛЕНИЯ РАДИОАКТИВНЫХ ЭЛЕМЕНТОВ.

5. ОБРАЗОВАНИЕ ЛЕТУЧИХ ОКИСЛОВ  
И ГИДРООКИСИ РЕНИЯ В СИСТЕМЕ  
РЕНИЙ-ВОЛЬФРАМ  
И ИХ ГАЗОТЕРМОХРОМАТОГРАФИЧЕСКОЕ  
ПОВЕДЕНИЕ

**1973**

ЛАБОРАТОРИЯ ЯДЕРНЫХ ПРОБЛЕМ

12 - 7525

Б.Баяр, И.Воцилка, Н.Г.Зайцева, А.Ф.Новгородов

БЫСТРЫЕ  
ГАЗОТЕРМОХРОМАТОГРАФИЧЕСКИЕ МЕТОДЫ  
ВЫДЕЛЕНИЯ РАДИОАКТИВНЫХ ЭЛЕМЕНТОВ.

5. ОБРАЗОВАНИЕ ЛЕТУЧИХ ОКИСЛОВ  
И ГИДРООКИСИ РЕНИЯ В СИСТЕМЕ  
РЕНИЙ-ВОЛЬФРАМ  
И ИХ ГАЗОТЕРМОХРОМАТОГРАФИЧЕСКОЕ  
ПОВЕДЕНИЕ

Направлено в журнал "Радиохимия"

Объединенный институт  
ядерных исследований  
БИБЛИОТЕКА

При изучении поведения летучих кислородных соединений рения в атмосфере влажного кислорода в предыдущих наших работах<sup>/1,2/</sup> было установлено, что рений транспортируется в термохроматографической колонке в виде летучей гидроокиси  $\text{ReO}_3(\text{OH})$ .

Этот факт может быть использован не только для быстрого радиохимического выделения рения или его возможных тяжелых аналогов из сложной смеси продуктов ядерных реакций<sup>/3/</sup>, но и для решения других прикладных радиохимических задач, в частности, для получения долгоживущих радиоактивных изотопов рения в изотопной промышленности.

Целью настоящей работы было более подробное изучение поведения ультра- и микроликичеств рения в атмосфере, содержащей пары воды, и возможностей газотермохроматографического выделения его из облученного металлического вольфрама.

## ЭКСПЕРИМЕНТАЛЬНАЯ ЧАСТЬ

Объектами исследования были:

1/ модельная смесь металлических порошков вольфрама и микрограммовых количеств рения, меченого  $^{186}\text{Re}$ ;  
2/ металлический порошок рения /~5  $\mu\text{g}$   $^{186}\text{Re}$ /, нанесенный на кварцевую вату;

3/ металлический вольфрам /вольфрам толщиной 0,1 мм/, облученный внутренним пучком протонов с энергией 120 МэВ на синхроциклотроне ОИЯИ в течение 1,5 час и являющийся источником ультрамикроликичеств рения, образующихся в реакции  $\text{W}(\text{p}, \text{xn})\text{Re}$ .

Изучение возгонки рения при сжигании твердого образца проводилось газотермохроматографическим методом на установке, описанной ранее<sup>4</sup>, при различных температурах в токе газа-носителя ( $\text{He}, \text{O}_2$ ), содержащего водяные пары. Методика определения выхода летучих продуктов рения из нагретой твердой фазы и распределения их вдоль термохроматографической колонки описана в работе<sup>2,4</sup>.

## РЕЗУЛЬТАТЫ И ИХ ОБСУЖДЕНИЕ

### 1. Поведение микроколичеств рения в токе газа-носителя ( $\text{He}, \text{O}_2$ ), содержащего пары воды.

#### а/. газ - носитель - гелий

Возгонка рения из модельной смеси металлических порошков вольфрама и рения /50 мг  $\text{W} + 10 \mu\text{g Re}^*$ / проводилась в интервале температур от 770 до 1160 °C в токе  $\text{He}$ , содержащего пары  $\text{H}_2\text{O}$  с упругостью от 0 до 430 мм рт.ст., в течение 15 мин. Количество рения, равное  $10 \mu\text{g}$ , было выбрано, исходя из того, что эта величина - тот предел, выше которого летучие соединения рения осаждаются из газовой фазы, не содержащей водяных паров, преимущественно в низкотемпературной зоне термохроматографической колонки<sup>1</sup>. Кроме того, следует учитывать, что в зависимости от размера поверхности колонки и от природы адсорбируемых молекул количество вещества, необходимое для образования адсорбционного слоя толщиной в одну или несколько молекул /адсорбция по Лэнгмюру или по БЭТ/, может колебаться в пределах  $1-10 \mu\text{g}$ <sup>5</sup>. Таким образом,  $\leq 10 \mu\text{g}$  - количества, в определенной мере, моделировали систему, содержащую ультрамикроколичества рения в облученном вольфраме.

В табл. 1 приведены полученные нами данные об улетучивании и месте осаждения /температуре осаждения/ рения. Видно, что количество возгоняемого рения растет с увеличением как температуры нагрева смеси, так и упругости паров воды в гелии.

Количественная возгонка микроколичеств рения наблюдалась при температурах 1060 и 1160 °C и  $P_{\text{H}_2\text{O}} = 430$  и 177 мм рт.ст., соответственно.

Таблица I

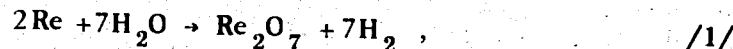
Сублимация рения из модельной смеси

50 мг  $\text{W}_{\text{NET}} + 10 \mu\text{g Re}^*$  в токе влажного гелия

Температура °C	Условия сублимации (время - 15 мин) $P_{\text{H}_2\text{O}}$ (мм рт.ст.)	Улетучивание Re (%)	Температура осаждения Re (°C)	Поведение вольфрама (визуальное определение по налету на стенах колонки)	
				Re (%)	Поведение вольфрама (визуальное определение по налету на стенах колонки)
770	82	нет	-	-	Не возгорялся
	430	нет	-	-	- " -
870	95	нет	-	-	Не возгорялся
	177	нет	-	-	- " -
930	430	4	160	160	Незначительно возгорялся
	57	нет	-	-	Незначительно возгорялся
1060	106	7	160	160	- " -
	169	22	160	160	- " -
1160	311	40	150	150	Заметно возгорялся
	430	70	150	150	- " -
1060	33	нет	-	-	Незначительно возгорялся
	82	24	150	150	- " -
1160	177	52	120	120	Заметно возгорялся
	286	76	120	120	- " -
1160	430	100	120	120	- " -
	33	нет	-	-	Незначительно возгорялся
1160	82	36	120	120	Заметно возгорялся
	177	100	120	120	- " -

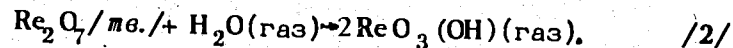
Можно полагать, что скорость улетучивания рения определяется, с одной стороны, скоростью окисления и образования летучих продуктов рения, что зависит и от температуры и от содержания паров  $H_2O$ , и, с другой стороны, скоростью десорбции этих летучих соединений с поверхности твердой фазы, которая зависит от их природы и температуры.

О взаимодействии Re met. и паров воды, о его химической форме при сублимации во влажной атмосфере для макропод количеств имеются следующие данные. В работе /6/ было показано, что между Re met. и парами воды происходит реакция:



которая показывает, что рений окисляется до летучей  $Re_2O_7$ .

В работах /7,8/ было установлено, что образуется летучая гидроокись рения



В работах /9-11/ масс-спектрометрическим методом также было зарегистрировано наличие  $ReO_3(OH)$  в продуктах испарения.

Чтобы понять, в какой химической форме рений может испаряться в условиях нашего эксперимента, мы рассчитали значения изменения термодинамического потенциала всех возможных реакций между Re и парами воды /табл. 2/. Видно, что наиболее вероятными являются реакции 5, 6, 8, 10, 11. Таким образом, данные, полученные нами, с учетом литературных данных говорят о том, что в наших условиях рений скорее всего будет испаряться и транспортироваться в виде  $ReO_3(OH)$ , т.к. газообразные окислы  $ReO_3$  и  $Re_2O_7$ , если они образуются, легко могут затем превращаться в  $ReO_3(OH)$ .

#### 6/ Газ - носитель - кислород

На рис. 1 показано распределение рения по длине термохроматографической колонки при его возгонке из образца /5  $\mu g$  Re\*/ на кварцевой вате/ в токе кислорода, содер-

Таблица 2

Изменение термодинамического потенциала реакции

Р е а к ц и я	$Re_{\text{мет}} + H_2O \text{ (г)}$	$\Delta G^{\circ}_r \text{ (ккал/моль)}$		
		900°K	1200°K	1500°K
1. $Re^{*} + 2H_2O(r) \rightarrow ReO_2(r) + 2H_2(r)$	28,3	33,0	-	-
2. $Re^{*} + 2H_2O(r) \rightarrow ReO_2(*) + 2H_2(r)$	-	-	27,1	-
3. $Re + 3H_2O(r) \rightarrow ReO_3(r) + 3H_2(r)$	47,3	33,4	18,4	-
4. $2Re + 7H_2O(r) \rightarrow Re_2O_7(r) + 7H_2(r)$	141,5	138,2	134,4	-
5. $Re + 4H_2O(r) \rightarrow ReO_3(OH)(r) + 7/2H_2(r)$	13,4	-9,2	-32,3	-
6. $ReO_3(r) + H_2O(r) \rightarrow ReO_3(r) + H_2(r)$	18,9	0,2	-	-
7. $2ReO_2(r) + 3H_2O(r) \rightarrow Re_2O_7(r) + 3H_2(r)$	83,7	71,0	-	-
8. $ReO_2(r) + 2H_2O(r) \rightarrow ReO_3(OH)(r) + 3/2H_2(r) - 14,9$	-	-42,1	-	-
9. $2ReO_3(r) + H_2O(r) \rightarrow Re_2O_7(r) + H_2(r)$	46,9	71,5	105,3	-
10. $ReO_3(r) + H_2O(r) \rightarrow ReO_3(OH)(r) + 1/2H_2(r) - 33,7$	-	-42,1	-50,0	-
II. $1/2Re_2O_7(r) + 1/2H_2O(r) \rightarrow ReO_3(OH)(r)$	-56,8	-77,2	-97,8	-

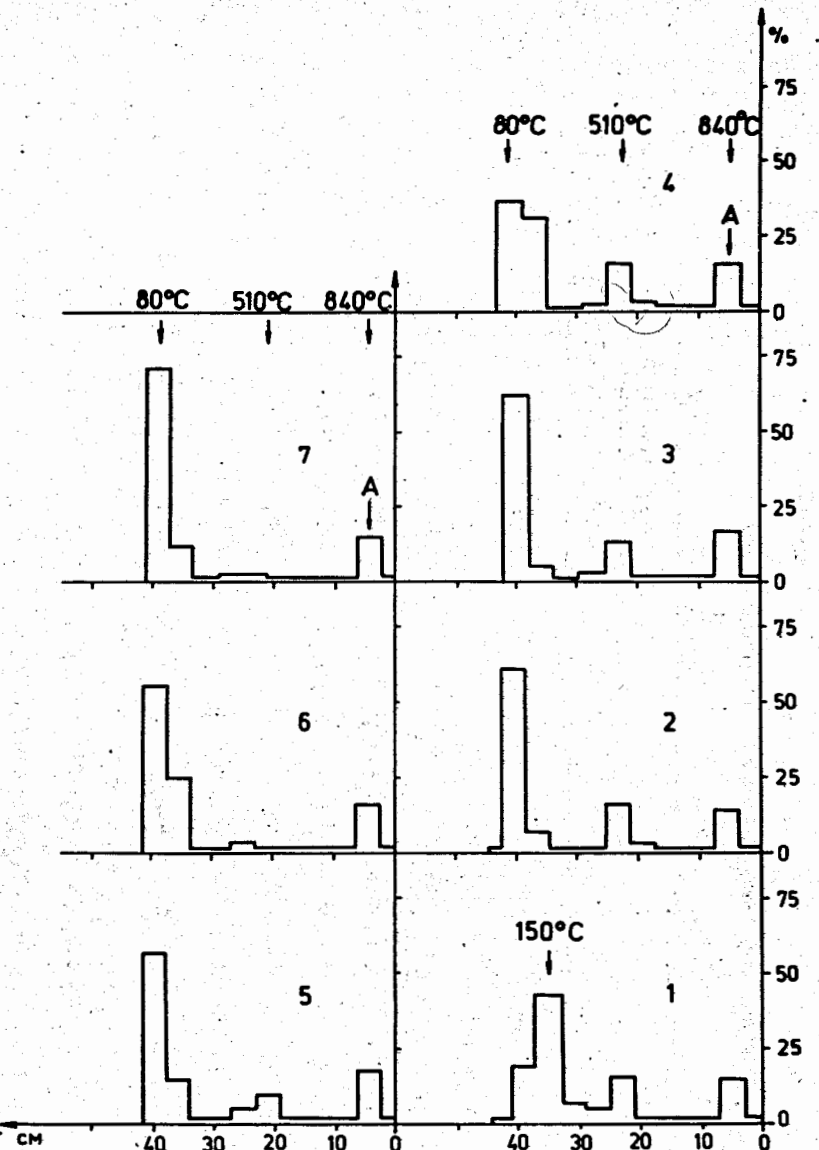


Рис. 1. Распределение по длине ТХ - колонки летучих соединений рения, образующихся при окислении  $\text{Re}^*$  /5  $\mu\text{г}/$  кислородом, в зависимости от содержания в нем водяных паров.  $P_{\text{H}_2\text{O}}$  мм рт.ст: 1 - сухой кислород; 2 - 24,1; 3 - 46,0; 4 - 86,0; 5 - 120; 6 - 200,0; 7 - 300,0.  $T = 840^\circ\text{C}$ , время возгонки - 5 мин, скорость газа-носителя - 15 н.мл/мин. А - исходное положение ампулы с образцом.

8

жащего пары воды с  $P_{\text{H}_2\text{O}}$  от 0 до 300 мм рт.ст., при температуре  $840^\circ\text{C}$ . Видно, что  $\text{Re}$  из газовой фазы осаждается на поверхности кварцевой колонки, в основном, в двух зонах: при  $\sim 80$  и  $510^\circ\text{C}$ . Было замечено, что высокотемпературная зона осаждения сохраняется при содержании паров воды до  $P_{\text{H}_2\text{O}} = 120$  мм рт.ст., а при дальнейшем увеличении  $P_{\text{H}_2\text{O}}$  она исчезает, и наблюдается только одна зона осаждения рения /  $\sim 80^\circ\text{C}$  /. При более низкой температуре испарения /  $740^\circ\text{C}$  / высокотемпературная зона совсем не наблюдалась.

Эти результаты подтверждают наши предположения о химической форме микроколичеств  $\text{Re}$  при их возгонке и осаждении. Следует только отметить, что высокотемпературная зона осаждения рения, соответствующая соединению  $\text{ReO}_3$ <sup>4</sup>, перемещается со временем вдоль колонки с определенной скоростью и стабилизируется при  $510^\circ\text{C}$ , что дает основание сделать предположение об адсорбционном механизме взаимодействия этого соединения с поверхностью колонки.

Из временной зависимости переноса  $\text{Re}$  /рис. 2/ мы оценили теплоту адсорбции  $\text{ReO}_3$  на поверхности кварца по уравнению  $t = Ae^{Q/R T_{\max}}/12$ , где  $t$  - время перемещения /сек/;  $A$  - константа, которая определяется параметрами установки и условиями эксперимента;  $Q$  - молярная теплота адсорбции соединения на поверхности колонки /ккал/моль/;  $R$  - газовая постоянная /ккал/моль.град/;  $T_{\max}$  - температура осаждения, соответствующая максимуму активности, / $^\circ\text{K}$ /.

Эта величина была равна  $Q = 17,9$  ккал/моль.

## 2. Перенос и осаждение микроколичеств рения в термохроматографической колонке, заполненной порошком $\text{WO}_3$

Прежде чем поставить опыт по термохроматографическому выделению ультрамикроколичеств рения из облученного вольфрама, в котором он образуется в результате ядерных реакций, необходимо было убедиться в том, что в процессе высокотемпературного взаимодействия металлического вольфрама с кислородом не происходит хими-

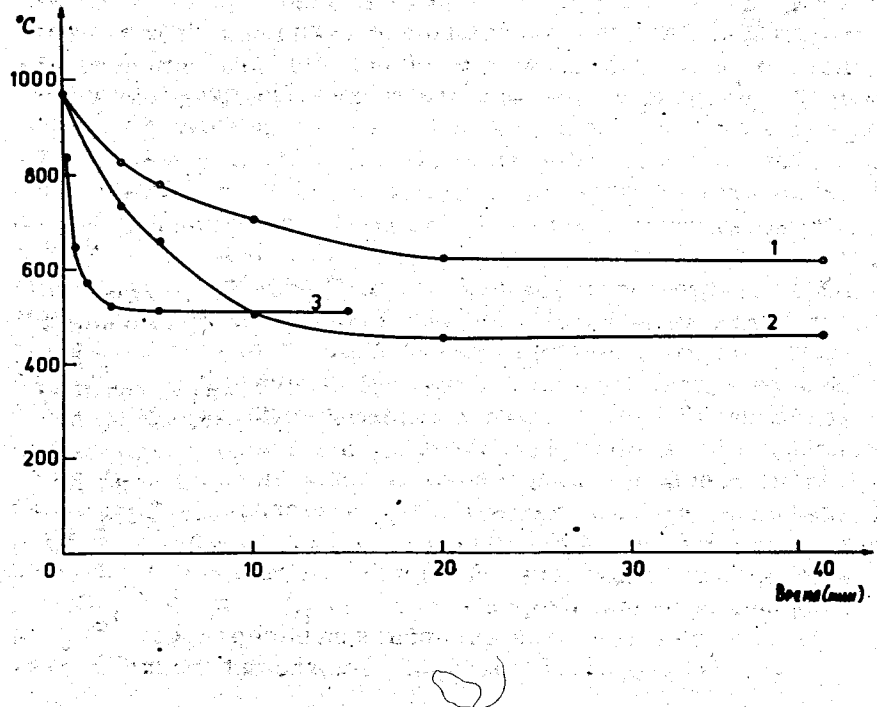


Рис. 2. Изменение температуры осаждения летучих соединений рения в TX-колонке в зависимости от времени: 1,2 - в колонке, заполненной порошком  $\text{WO}_3$ , в токе сухого и влажного кислорода, соответственно, /  $T=975^\circ$  /; 3 - перемещение  $\text{Re}^*$ , сорбированного первоначально при  $T=510^\circ$ , в кварцевой колонке /  $T=840^\circ$  /. Скорость газа-носителя - 15 н.мл/мин.

ческого взаимодействия между образующейся окисью вольфрама и рением, которое могло бы приводить к возникновению устойчивых нелетучих соединений рения. С этой целью мы изучали перенос летучих соединений рения, образующихся при сжигании металлического рения /  $10 \mu\text{g} \text{ Re}$  / при температуре  $975^\circ$  в сухом и влажном  $\text{O}_2$  /  $P_{\text{H}_2\text{O}} = 414 \text{ mm rt.st.}$  / в кварцевой трубке /  $d_{\text{внутр.}} = 5 \text{ mm}$  /, имеющей отрицательный температурный градиент  $-34^\circ \text{C/cm}$  и заполненной порошком  $\text{WO}_3$ .

В результате проведенных экспериментов было установлено, что скорость переноса рения в токе сухого кислорода заметно отличалась от скорости переноса его во влажном кислороде. В обоих случаях наблюдалась одна, довольно узкая зона осаждения. На рис. 2 представлена картина переноса рения в виде зависимости температуры, соответствующей наблюдаемому максимуму пика активности в зоне осаждения, от времени. Видно, что в токе сухого кислорода / кривая 1 / рений переместился за 20 мин. возгонки от исходной позиции /  $t = 975^\circ$  / до зоны, находящейся при  $t = 610^\circ$ , что соответствовало расстоянию в 11 см. Во влажном кислороде / кривая 2 / за это же время зона осаждения рения стабилизировалась при  $455^\circ$ , что соответствовало перемещению рения на 17,5 см. В течение последующих 20 минут положение этих зон не менялось.

На основании полученных данных можно сделать заключение, что различная скорость переноса рения в токе сухого и влажного кислорода в трубке, заполненной  $\text{WO}_3$ , может быть объяснена образованием различных окисных соединений рения, скорее всего,  $\text{Re}_2\text{O}_7$  и  $\text{ReO}_3(\text{OH})$ , отличающихся теплотой адсорбции на поверхности  $\text{WO}_3$  и, соответственно, температурой осаждения рения в этих условиях.

Образование относительно стабильных / по температуре / зон осаждения, не изменяющихся за время опыта / в интервале от 20 до 40 мин /, заставляет нас предполагать, что при этих температурах /  $610^\circ$  для  $\text{Re}_2\text{O}_7$  и  $455^\circ$  для  $\text{ReO}_3(\text{OH})$  /, отличающихся от температуры осаждения аналогичных образцов на поверхности кварце-

вой трубы /140 и 80°/, соответственно/ может происходить специфическое взаимодействие между летучими окислами рения и окисью вольфрама, приводящее к хемосорбции окиси и гидроокиси рения на поверхности  $\text{WO}_3$ .

Исходя из временной зависимости переноса рения /рис. 2/, мы оценили теплоту адсорбции  $\text{Re}_2\text{O}_7$  и  $\text{ReO}_3(\text{OH})$  на поверхности  $\text{WO}_3$  и получили величины 24,2 ккал/моль для  $\text{Re}_2\text{O}_7$  и 16,6 ккал/моль для  $\text{ReO}_3(\text{OH})$ .

### 3. Улетучивание $\text{Re}^*$ из облученного вольфрама и его распределение вдоль термохроматографической колонки

В предварительных опытах мы убедились в том, что при сжигании облученного вольфрама в атмосфере сухого кислорода скорость выделения из него  $\text{Re}^*$  возрастает с увеличением температуры от 800 до 1160° и что при температуре сжигания меньше 1160° зона адсорбции рения получалась более размытой. Поэтому изучение кинетики возгонки  $\text{Re}^*$  из облученного  $\text{W}$  мет. и распределение его вдоль колонки в атмосфере сухого и влажного кислорода / $P_{\text{H}_2\text{O}} = 414 \text{ мм рт.ст.}$ / проводилось только при 1160°. Нами было замечено, что облученный вольфрам /0,6 г/ при этой температуре полностью окислялся за ~ 5 мин. и с увеличением времени до 40 мин заметно возгонялся. Однако он конденсировался на поверхности трубы в зоне с температурой выше 600°. Из результатов опытов, проведенных в атмосфере сухого и влажного кислорода /рис. 3/, видно, что в обоих случаях более 70% рения возгонялось за 5-10 мин, после чего увеличение времени возгонки мало влияло на выход  $\text{Re}^*$  из  $\text{W}$ . В атмосфере влажного кислорода рений в состоянии без носителя осаждался в виде четко выраженного пика в одной зоне при  $T = 100 \pm 20^\circ$  /рис. 4a/, в токе же сухого кислорода /рис. 4б/ сначала образовывались две зоны осаждения /400±20 и 170±20°/. Однако с увеличением времени возгонки высокотемпературная зона постепенно исчезала, и весь рений перемещался в зону с температурой 170±20°.

Рению, осажденному в среде сухого кислорода в вы-

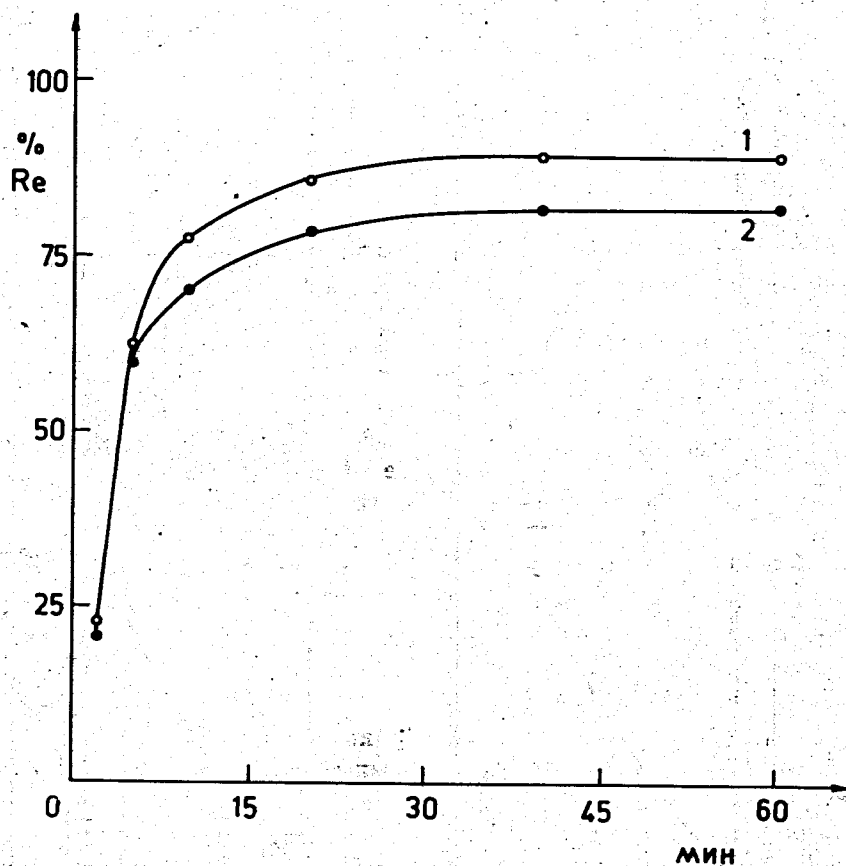


Рис. 3. Улетучивание рения /%/ при сжигании  $\text{W}$  мет. /0,6 г/, облученного протонами / $E_p = 120 \text{ МэВ.}$ /, в зависимости от времени: 1 - влажный  $\text{O}_2$ ; 2 - сухой  $\text{O}_2$ .  $T = 1160^\circ$ , скорость газа-носителя - 15 л.мл/мин.

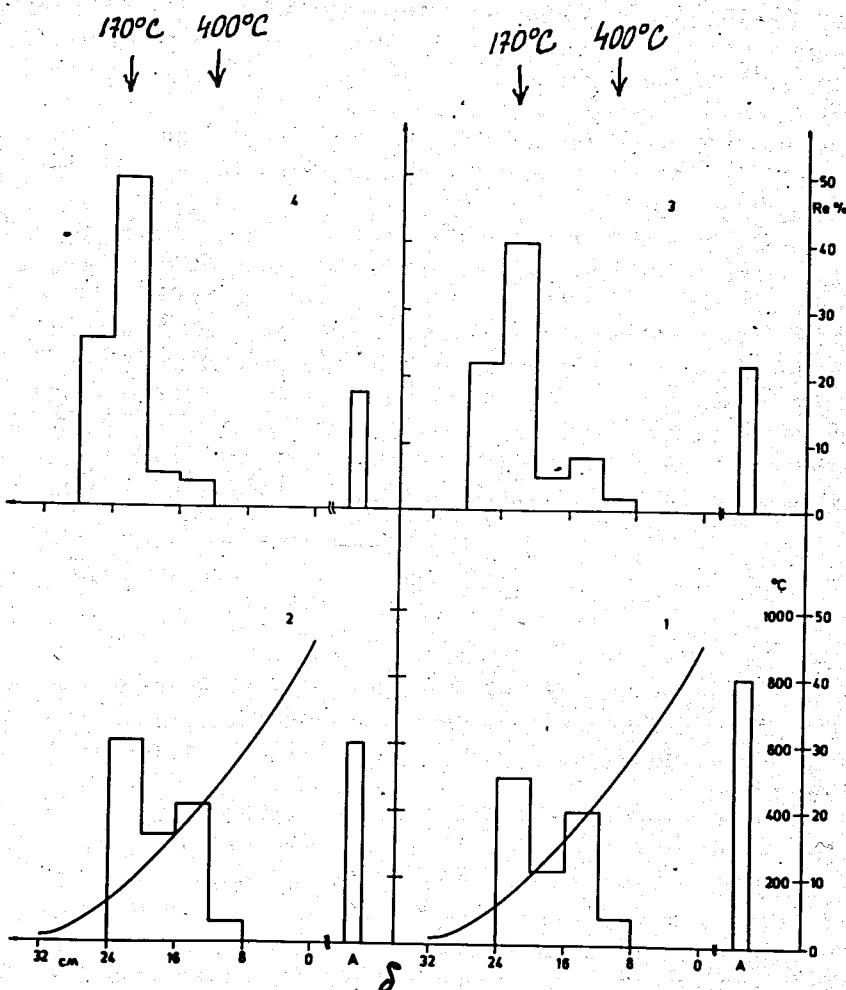
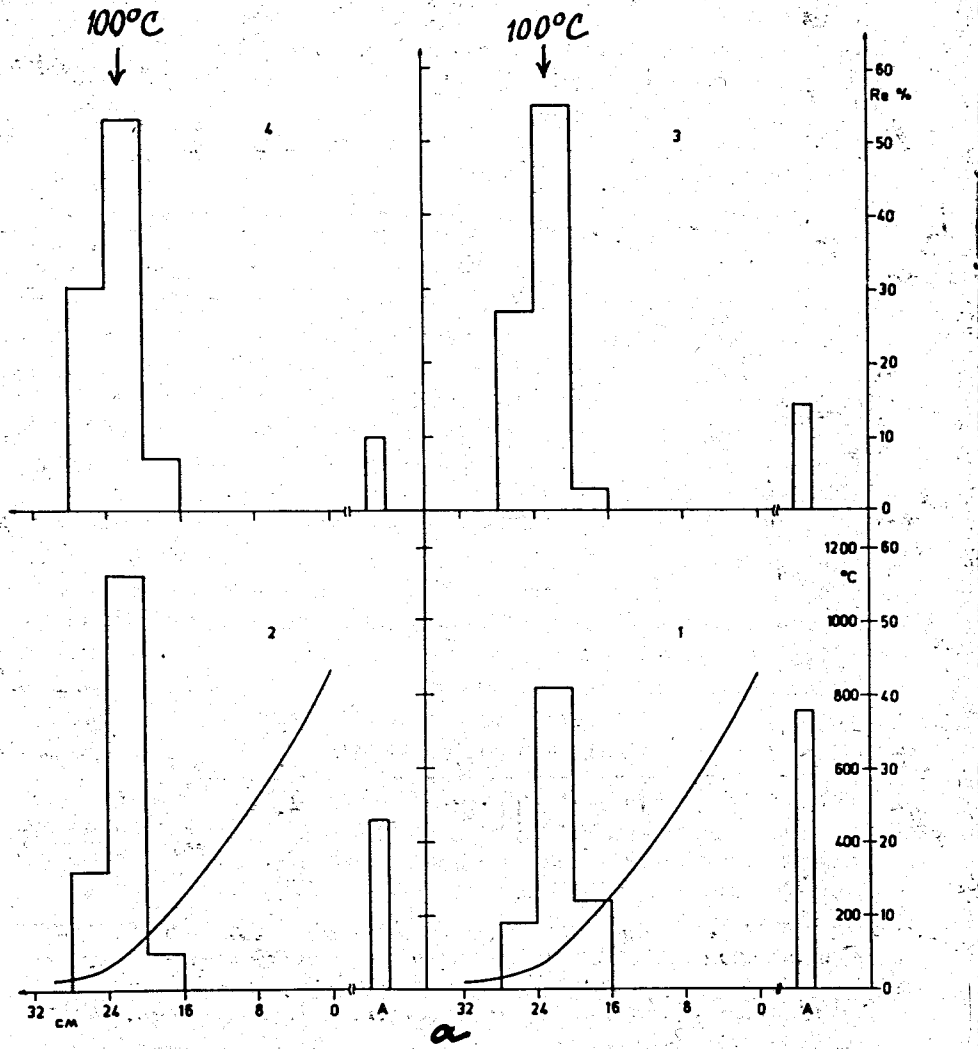
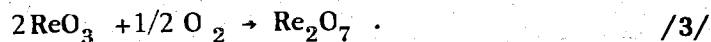


Рис. 4. Распределение рения, испаряемого из облученного W мет., по длине TX-колонки в зависимости от времени /мин/: 1 - 5; 2 - 10; 3 - 20; 4 - 40. а/влажный кислород / $P_{H_2O} = 430$  мм рт.ст./, б/сухой кислород.  $T = 1160^\circ C$ , скорость газа-носителя - 15 н.мл/мин. А - исходное положение ампулы с образцом; кривая - температурный градиент.

сокотемпературной зоне / $400 \pm 20$  °/, как уже было показано /2,4/, можно приписать формулу  $\text{ReO}_3$ . Несколько труднее сделать заключение о химической форме рения, осажденного при низкой температуре. Ранее мы установили /4/, что рений, возгоняемый в состоянии без носителя из облученного золота в токе сухого кислорода, адсорбируется только в одной высокотемпературной зоне. Тот факт, что при возгонке из облученного  $\text{W}_{\text{мет}}$   $\text{Re}^*$  сорбировался в двух зонах, можно объяснить вероятным присутствием в вольфраме следов рения, которые при окислении могут образовать  $\text{Re}_2\text{O}_7$ , что подтверждается "характеристической" температурой осаждения рения / $170 \pm 20$  °/, близкой к температуре конденсации  $\text{Re}_2\text{O}_7$  / $200$  °/. Кроме того, образование  $\text{Re}_2\text{O}_7$  возможно не только в самой мишени при его окислении, но также и при взаимодействии сорбированного в высокотемпературной зоне рения на поверхности кварца по реакции:



Смещение рения из высокотемпературной зоны адсорбции, появление которой наблюдается в начале процесса, в низкотемпературную зону /рис. 4б/, может быть объяснено этой реакцией.

На рис. 5 представлено накопление рения в низкотемпературной зоне / $170 \pm 20$  °/ в зависимости от времени. Нарастание активности в этой зоне во время сжигания вольфрама в сухом кислороде измерялось с помощью коллимированного сцинтилляционного счетчика. Первичное увеличение активности рения в этой зоне подтверждает предположение о возможности улетучивания рения из вольфрама в форме  $\text{Re}_2\text{O}_7$ . Замедление роста активности через ~10 минут, видимо, указывает на завершение процесса окисления вольфрама, а последующее увеличение активности через 25 мин, вероятно, объясняется поступлением  $\text{Re}_2\text{O}_7$  за счет превращения  $\text{ReO}_3$  в  $\text{Re}_2\text{O}_7$  в "промежуточной" зоне / $400$  °C/ по реакции /3/.

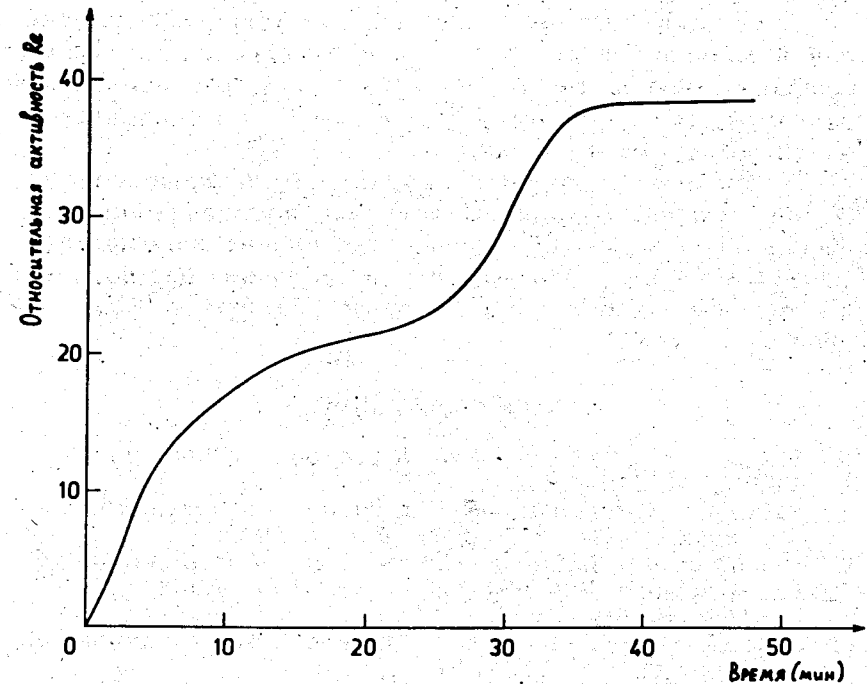


Рис. 5. Изменение активности рения, осаждающегося в низкотемпературной зоне TX-колонки / $170 \pm 20$  °/, в зависимости от времени сжигания облученного  $\text{W}_{\text{мет}}$  в токе сухого кислорода.  $T = 1160$  °, скорость  $\text{O}_2 - 15$  н.мл/мин.

## ВЫВОДЫ

1. Изучено газотермохроматографическое поведение микроколичеств рения в токе гелия и кислорода в зависимости от содержания паров воды в газе-носителе, времени и температуры возгонки.
2. Обсуждается механизм образования летучих окислов и гидроокиси рения в процессе сжигания вольфрама. Сделана оценка теплот адсорбции летучих соединений рения  $\text{Re}_2\text{O}_7$ ,  $\text{ReO}_3(\text{OH})$  и  $\text{ReO}_3$  на поверхности окиси вольфрама и кварца.
3. Экспериментальные результаты показывают, что метод газовой термохроматографии позволяет просто и быстро выделять из облученного металлического вольфрама радиоактивные изотопы Re в состоянии без носителя с большим химическим выходом  $/87 \pm 5\% /$  и фактором очистки больше  $10^3$ .

## ЛИТЕРАТУРА

1. Б.Баяр, Н.Г.Зайцева, А.Ф.Новгородов. Препринт ОИЯИ, Р6-5955, Дубна, 1971.
2. Б.Баяр, И.Воцилка, Н.Г.Зайцева, А.Ф.Новгородов. Препринт ОИЯИ, Р12-7280, Дубна, 1973.
3. В.З.Белов, И.Звара, Ю.С.Короткин, М.Р.Шалаевский, В.А.Щеголев, В.П.Доманов. Препринт ОИЯИ, Р6-6685, Дубна, 1972.
4. Б.Баяр, И.Воцилка, Н.Г.Зайцева, А.Ф.Новгородов. Препринт ОИЯИ, Р12-7164, Дубна, 1973.
5. L.Westgaard, G.Rudstam, O.C.Jonsson. J.Inorg.Nucl.Chem., 31,12, 3747 (1969).
6. M.Kilpatrick, S.Lott, J.Electrochem.Soc., 113, 1, 15 (1966).
7. W.T.Smith, L.E.Line, W.A.Bell. J.Am.Chem.Soc., 74, 19, 4964 (1952).
8. O.Glemser, A.Müller, H.Schwarzkopf. Z.Anorg.Allg.Chem., 334, 1-2, 211 (1964).
9. Г.А.Семенов, К.В.Овчинников. ЖХХ, 35, 9, 1517 /1965/.
10. Г.А.Семенов, Е.К.Шалкова. Вестник ЛГУ, 3, 1, 111 /1969/.
11. I.E.Battles, G.E.Gundersen, R.K.Edwards. J.Phys.Chem., 72, 12, 3963 (1968).
12. J.Meriris, G.Bouissieres. Radiochim.Acta., 12, 3, 140 (1969).

Рукопись поступила в издательский отдел  
30 октября 1973 года.